

شناسایی الگوهای گردشی پدیده یخندان با کاربرد تحلیل مولفه های مبنای و تحلیل خوشه ای (مطالعه موردنی: استان فارس)

دکتر جواد خوشحال دستجردی

عضو هیات علمی دانشگاه اصفهان Email: javadkhoshhal@yahoo.com

دکتر حجت الله یزدانپناه

عضو هیات علمی دانشگاه اصفهان Email: ho_yazdan@gmail.com

خداکرم حاتمی بهمن بیگلو

دانشجوی کارشناسی ارشد جغرافیا گرایش اقلیم شناسی دانشگاه اصفهان Email: kh_hb2002@yahoo.com

چکیده

یخندان یکی از پدیده های اقلیمی است که قابلیت فراوانی در ایجاد خسارت در بخش های مختلف اقتصادی بویژه کشاورزی دارد. بنابراین شناخت این پدیده در استان فارس بدليل رونق فعالیت های کشاورزی دارای اهمیت فراوانی است. هدف از این پژوهش شناسایی الگوهای گردشی تراز های مختلف جوی در رخداد پدیده یخندان است. که با شناسایی الگوهای گردشی می توان به ارائه پیش آگاهی از طریق نقشه های سطوح مختلف جوی پرداخت. بنابراین با استفاده از تحلیل مولفه مبنای به روش ماتریس همبستگی بر روی داده های ارتفاع ژئوپتانسیل تراز ۵۰۰ هکتوپاسکال و فشار سطح دریا در محدوده صفر تا ۷۰ درجه طول شرقی و ۲۰ تا ۶۰ درجه عرض شمالی به شناسایی عناصر اصلی تشکیل دهنده جریانات جوی پرداخته شد. سپس با کاربرد تحلیل خوشه ای به روش ادغام وارد بر روی نمرات مولفه ها الگوهای گردشی موجود یخندان تراز های فوق شناسایی گردید. در نتیجه با گسترش پر فشار سیری و پرفشارهای اروپای شمال و شمال شرقی به سوی ایران علاوه بر نزول درجه حرارت در مناطق مختلف استان در ارتفاعات زاگرس، مرکز پرفشاری با فشار مرکزی بیش از ۱۰۲۵ هکتوپاسکال تشکیل می شود که در تداوم و تشدید یخندان در استان نقش اساسی دارد. در تراز ۵۰۰ هکتوپاسکال با استقرار شرق فراز (فراز غرب ایران یا فراز قوی شرق اروپا) بر روی استان فارس باعث ریزش هوای بسیار سرد عرضهای بالا به سمت عرضهای پایین می گردد و مناطق مختلف استان بویژه بخش های مرکزی، شمال و شمال غربی با افت شدید دما مواجه می گردند.

واژگان کلیدی: یخندان، استان فارس، الگوهای گردشی، تحلیل مولفه مبنای، تحلیل خوشه ای.

مقدمه

یخندان یکی از پدیده های اقلیمی است که سالانه باعث ایجاد خسارات در مسائل کشاورزی، حمل و نقل ، محیط زیست، فعالیت های عمرانی و غیره می شود. مهمترین بخشی که یخندان هر ساله آسیب جدی و بیشترین خسارات به آن

شناسایی الگوهای گردشی پدیده یخندان با کاربرد تحلیل مولفه های مبنای و تحلیل خوش ای / خوشحال و همکاران

وارد می سازد بخش کشاورزی است. گیاهان در محدوده حرارتی معین رشد می نمایند و تحمل پذیری آنان در مقابل دماهای بالا و پایین تر از آستانه معین محدود است. بیشترین آسیبی که کشاورزان هر ساله با آن مواجه اند مسئله کاهش دما از آستانه های حداقل گیاهان است. بنابراین شناخت علل وقوع یخندان در هر ناحیه یکی از بنیادی ترین تحقیقات اقلیمی - کشاورزی است که این امر می تواند کمک شایانی به برنامه ریزان کشاورزی و کشاورزان به منظور کاهش خسارت یخندان داشته باشد. مطالعه این پدیده در استان فارس بدلیل رونق فعالیت های کشاورزی لازم و ضروری است. در همین رابطه صندوق بیمه محصولات کشاورزی وابسته به جهاد کشاورزی استان فارس میزان خسارت حاصل از پدیده یخندان در استان فارس را به قرار زیر اعلام نموده است(جدول ۱).

سال زراعی	نوع کشت	سطح خسارت دیده (هکتار)	مبلغ پرداخت شده(ریال)
۱۳۸۴-۸۵	باغات	۱۶۳۰۲	۷۱۲۳۶۶۲۴۲۹۱
	زراعت	۱۸۵۱۷	۱۱۷۸۶۷۸۸۵۳۱
۱۳۸۵-۸۶	باغات	۱۷۹۹۰	۵۱۰۱۳۹۹۳۰۲۰
	زراعت	۱۵۵۴۱	۹۹۹۹۸۶۵۶۸۳
۱۳۸۶-۸۷	باغات	۲۱۸۱۳	۹۹۱۹۵۳۵۲۷۵۷
	زراعت	۶۶۰	۷۱۸۳۶۵۹۴۴۵

جدول ۱: سطح و میزان خسارت ناشی از پدیده یخندان محصولات کشاورزی تحت پوشش بیمه در استان فارس.

بنابراین ضرورت شناسایی ویژگی ها و علل همدیدی پدیده یخندان در استان فارس ایجاب می کند تا بتوان از این طریق با ارائه پیش آگاهی به مردم از وقوع خسارت های سنگین جلوگیری نمود. در ارتباط با ویژگیها و علل وقوع پدیده یخندان بررسی های انجام گرفته است. در این راستا فتاحی و صالحی پاک(۱۳۸۸: ۱۲۷) از تحلیل عاملی به روش تحلیل مولفه های مبنایاً حالت S و چرخش واریمکس و از تحلیل خوش ای به روش K-Means برای شناسایی علل همدید یخندان ایران استفاده نموده اند. هژبرپور و علیجانی(۱۳۸۶) به تحلیل همدید یخندان های خسارت بار استان اردبیل پرداخته اند. پنجمعلی زاده(۱۳۸۴) به تحلیل آماری سینوپتیکی یخندانهای فراگیر شهر اردبیل پرداخت. صادقی و رضا زاده (۱۳۸۱: ۱) در پژوهشی مدل بستگی دما- زمان آهنگ یخندان نمونه بارانها در خلال پاییز و زمستان بررسی نمودند. خلجمی(۱۳۸۰: ۱۲۶) جهت پیش بینی سرمای دیررس بهاره و یخندان زودرس پاییزه برای برخی گیاهان زراعی و باغی در استان چهارمحال و بختیاری به بررسی آماری زمان وقوع حداقل مطلق دما، آخرین و اولین دمای زیر صفر نسبت به بهار و پائیز ایستگاه های استان پرداخته است. حجازی و ناصر زاده (۷۶: ۱۳۸۴) به محاسبه ساعت های تداوم یخندان با استفاده از برنامه نویسی به زبان دلفی پرداخته اند. میل و همکاران (۲۰۰۴) به بررسی یخندان در غرب و جنوب غربی ایالات متحده آمریکا پرداخته اند. علیجانی(۷: ۱۳۷۸) تغییرات الگوی جریان سطح ۵۰۰ هکتار پاسکال منطقه خاورمیانه و اثرات آن بر اقلیم ایران در دوره ۱۹۶۱-۱۹۹۰ را بررسی نموده است. کریستی و همکاران (۷: ۲۰۰۷) پوشش برف بر روی دریای بالتیک را با استفاده از مدل های آماری با وسعت حداکثر سالانه آن در یک دوره زمستانه با دمای ساحلی ارتباط دادند. خلیلی و همکاران(۲۰۰۷: ۲۳) با تعیین عمق نفوذ یخندان در خاک در مناطق خشک و نیمه خشک ایران با مدل های نروژی، آمریکایی و فنلاندی، مدل امریکایی را مناسب ترجیح داده اند. دینگ(۱۹۸۷: ۱۴۲) به منظور مطالعه

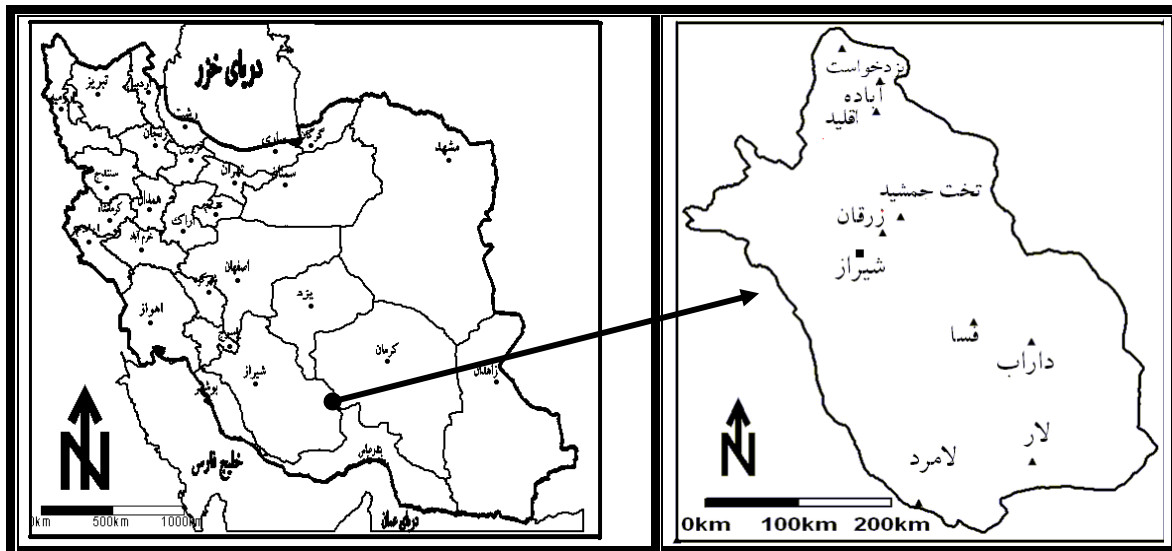
موسمی های زمستانه و ریزش هوای سرد در چین به تحلیل الگوهای بزرگ مقیاس، انتقال توده های هوای سرد و گسترش نفوذ زبانه های سرد به سمت استوا پرداخته است. ویتکویچ (۱۹۶۳: ۲۱۲) گسترش بادهای سرد شمال غربی بوسیله توده های هوایی را عامل مبنای بخندانهای روسیه، اروپا و قراقستان می داند.

شناسایی الگوها ی گردشی در ترازهای مختلف جوی در روزهای بخندان می تواند در پیش آگاهی از وقوع این پدیده کمک شایانی کرده و در کاهش خسارت آن نقش اساسی داشته باشد. بنابراین در این پژوهش با تجزیه و تحلیل داده های ارتفاع ژئوپتانسیل تراز ۵۰۰ هکتوپاسکال و فشار سطح زمین برای شناسایی علل همدید پدیده بخندان با روش تحلیل مولفه های مبنا و تحلیل خوش ای استفاده شده است.

داده ها و روش شناسی

برای شناسایی رابطه الگوهای گردشی با وقوع پدیده بخندان در استان فارس به سه مجموعه داده مختلف نیاز گردید:

الف- داده های دمای کمینه روزانه ایستگاهها ب- داده های ارتفاع ژئوپتانسیل تراز ۵۰۰ هکتوپاسکال. ج- داده های فشار سطح زمین. برای دستیابی به داده های مورد نیاز ابتدا داده های روزانه درجه حرارت ایستگاههای سینوپتیک از اداره کل هواشناسی استان فارس دریافت گردید. سپس با استفاده از تعریف بخندان، بخندان عبارت است از روزی که حداقل دمای روز در آن به زیر صفر درجه می رسد $T \text{ min}^{\circ} <= 0^{\circ} \text{C}$ (کاویانی و علیجانی، ۱۳۷۴: ۴۴۸). از میان داده های حداقل دمای روزانه روزهای بخندان ۱۰ ایستگاه سینوپتیک استان که پیش از ۱۰ سال داده آماری داشتند برای بررسی بخندان انتخاب گردیدند. این ایستگاهها عبارتند از: آباده، شیراز، تخت جمشید، داراب، اقلید، فسا، لار، لامرد، ایزدخواست، زرقان(نقشه ۱). میزان فراگیری هر روز بخندان در میان ایستگاههای استان مشخص شد. مثال: در روز ۱۳۶۱/۰۹/۱۷ همزمان در چهار ایستگاه استان بخندان رخ داده است. سپس به محاسبه تداوم بخندان در ایستگاه سینوپتیک شیراز پرداخته شد. انتخاب ایستگاه شیراز جهت استخراج تداوم بخندان بدلیل قرار گرفتن آن در مرکز استان است(نقشه ۱). تداوم بخندان عبارتست از بقای دمای حداقل روزانه در آستانه مورد نظر یا زیر آن برای یک مدت ممتد و مشخص(مجرد قره باغ، ۱۳۷۶: ۳۰). سپس روزهایی که حداقل در چهار ایستگاه فراگیر بوده و تداوم بخندان در آن پیش از دو روز بود از میان داده های روزانه استخراج شد. در نتیجه ۱۷۲ دوره بخندان شناسایی شد(جدول ۲). دوره بخندان در این پژوهش دوره ایست که بخندان حداقل در چهار ایستگاه فراگیر بوده و تداوم آن حداقل دو روز باشد. این فرایند به این منظور انجام پذیرفت که بخندان های انتقالی (سینوپتیکی) از بخندانهای تشعشعی متمایز گردد. هدف از انتخاب دوره های طولانی تر از دو روز اجتناب از بخندانهای تابشی است. فرض بر این است که بخندانهای انتقالی طولانی تر هستند(هزبرپور و علیجانی، ۱۳۸۶: ۹۳). در مجموع ۶۲۸ روز بخندان را شامل گردید. سپس با بررسی این روزها، روزهایی که فراگیر آنها کمتر از ۴ ایستگاه بود از میان داده ها حذف گردید. در نتیجه ۶۲۵ روز بخندان برای انجام مراحل بعدی تحقیق استفاده گردید. دوره های بخندان از ۱۹ آبان تا ۸ فروردین هر سال در دوره آماری ۱۳۶۱/۰۹/۱۷ (۱۳۸۶/۱۲/۰۵) تا ۱۹۸۲/۱۲/۰۸ (۲۰۰۸/۰۲/۲۴) در سطح استان شکل گرفته اند



نقشه ۱- موقعیت جغرافیایی استان فارس در ایران و ایستگاههای سینوپتیک مورد مطالعه در استان.

در نرم افزار متلب MATLAB برای روزهای یخبدان ماتریسی به ابعاد 625×625 تشکیل شد. بر اساس این روزهای داده‌های روزانه فشار سطح زمین و داده‌های روزانه ارتفاع ژئوپتانسیل تراز ۵۰۰ هکتوپاسکال از سال ۱۹۸۲ تا سال ۲۰۰۸ میلادی از پایگاه داده CDC.NOAA.GOV که با تفکیک مکانی $2/5 \times 2/5$ سنجش می‌گردد با استفاده از نرم افزار GRADS استخراج گردید.

جدول ۲: نمونه‌ای از دوره، تداوم و فرآگیری یخبدان استان فارس.

A	B	C	D	E	F	G	H	I	J
				سال میلادی	ماه میلادی	روز میلادی	تعداد ایستگاه فرآگیر	حداقل دما	دما
				سال شمسی	ماه شمسی	روز شمسی			
1	1361	9	17	1982	12	8	4	-4	2
2	1361	11	1	1983	1	21	4	-3	3
3	1361	11	6	1983	1	26	4	-1	9
4	1361	11	16	1983	2	5	4	-1.4	2
167	1386	10	22	2008	1	12	8	-0.6	2
168	1386	10	25	2008	1	15	7	-1	7
169	1386	11	5	2008	1	25	8	-2.2	2
170	1386	11	8	2008	1	28	8	-1.2	3
171	1386	11	12	2008	2	1	7	-2.6	11
172	1386	12	3	2008	2	22	7	-3.2	3

قلمرو ۰ تا ۷۰ درجه طول شرقی و ۲۰ تا ۶۰ درجه عرض شمالی برای شناسایی الگوهای گردشی انتخاب شد. بنابر این برای هر روز در راستای طول جغرافیایی ۲۹ یاخته و در راستای عرض جغرافیایی ۱۷ یاخته وجود دارد. بدین ترتیب آرایه داده‌ها به ابعاد 493×493 برای دو سطح مورد نظر آمده شد. در واقع این آرایه ۴۹۳ مکان(نقطه) را در طی ۶۲۵ روز یخبدان از سال ۱۹۸۲ تا ۲۰۰۸ میلادی برابر با ۱۳۶۱ شمسی لغایت ۱۳۸۶ شمسی در بردارد. بنابراین ماتریس داده‌ها در حالت S تنظیم گردید. مکانها در روی ستون و روزها بر روی سطر ماتریس واقع شدند. در گام بعد میانگین و انحراف معیار داده‌های ارتفاع ژئوپتانسیل و فشار سطح دریا هر روز محاسبه و بر مبنای آن داده‌ها استاندارد سازی شد. مثال:

$$Shgt(i, j) = [hgt(i, j) - M(i)] / std(i)$$

Shgt(i,j) مقدار ارتفاع ژئوپتانسیل استاندارد شده برای روز i ام روی نقطه j ام، hgt(i,j) مقدار ارتفاع ژئوپتانسیل برای روز i ام روی نقطه j ام، M(i) میانگین ارتفاع ژئوپتانسیل برای روز i ام و Std(i) انحراف معیار ارتفاع ژئوپتانسیل برای روز i ام است.(مسعودیان، ۱۳۸۵: ۴). این مراحل برای داده های فشار سطح دریا انجام گرفت . برای شناسایی علل سینوپتیکی یخندانها از روش‌های آماری تحلیل مولفه مبنای^۱ و تحلیل خوش‌ای^۲ استفاده شده است. هدف از تحلیل مولفه مبنای از یک سو کاهش حجم داده ها و از سوی دیگر شناسایی مهمترین الگوهای زمانی و الگوهای مکانی تغییرات ارتفاع ژئوپتانسیل تراز ۵۰۰ هکتوپاسکال و فشار سطح دریا در قلمرو مورد بررسی بوده است.

تحلیل مولفه های مبنای دارای سه برونداد است: الگوهای مکانی(آرایه بارهای مولفه ها)، الگوی زمانی(آرایه نمرات مولفه ها) و آرایه درصد تبیین مولفه ها(آرایه بارهای مولفه ها). برای انتخاب مهمترین مؤلفه ها اصل تبیین بیش از یک درصد مد نظر قرار گرفت. بر این اساس تنها مؤلفه هایی را برای تحلیل های بعدی مورد استفاده قرار گرفت که بیش از یک درصد تغییرات ارتفاع ژئوپتانسیل تراز ۵۰۰ هکتوپاسکال و فشار سطح دریا را تبیین میکردند.

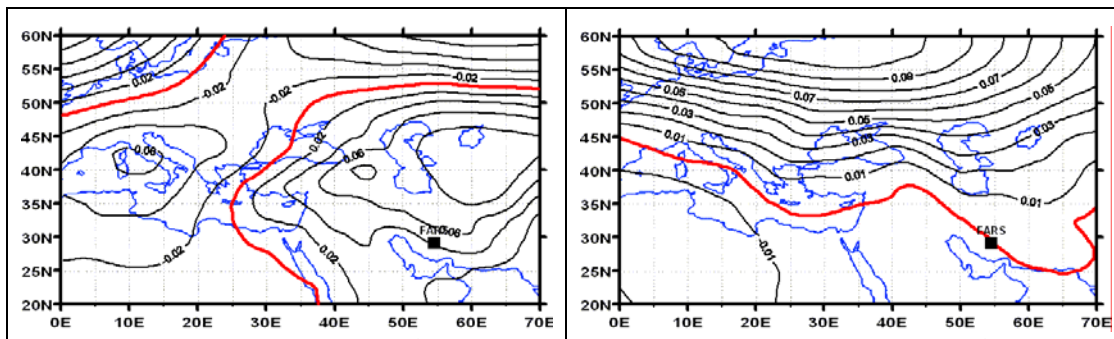
با انجام یک تحلیل خوش‌ای به روش ادغام وارد(ward) بر روی نمرات مولفه ها بر اساس تحلیل همبستگی که گردیدن پراش بر آن اثری ندارد و سبب حذف شدت فشار می گردد در هر خوش‌ای که روز بعنوان روز نماینده یا الگوی گردشی معرفی شد. سپس با استفاده از نرم افزار GRADS نقشه های روزهای کلیدی یا الگوهای گردشی در چهارچوب مختصات معرفی شده استخراج و مورد تجزیه تحلیل قرار گرفت.

تحلیل مولفه های مبنای بر روی فشار سطح دریا

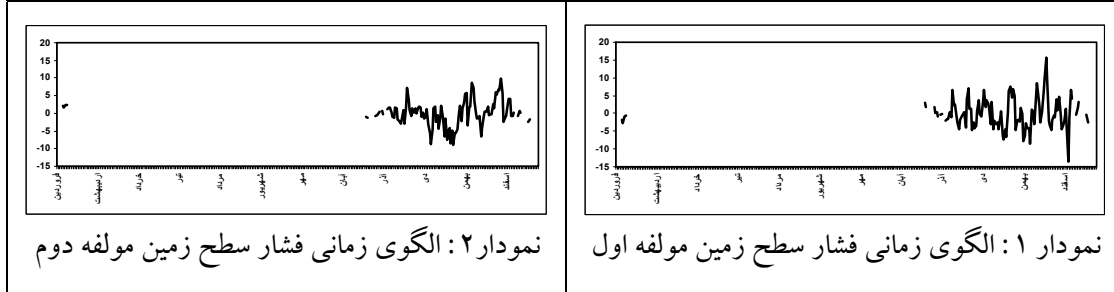
مولفه ها آرایش توپوگرافی جریانهای تشکیل شده در محدوده مورد مطالعه را در دوره آماری نشان می دهند. الگوهای مکانی (بار مؤلفه ها) این تحلیل نشان داد که با ۹ مؤلفه میتوان ۹۴ درصد تغییرات داده ها را تبیین کرد(جدول ۳). بارهای مؤلفه ۹ در نرم افزار Surfer 8.0 بر روی چهارچوب صفر تا هفتاد درجه طول شرقی و بیست تا شصت درجه عرض شمالی با یاخته های ۲/۵*۲/۵ درجه و به روش نزدیکترین همسایه به نقشه تبدیل شد و خطوط هم مقدار آن ترسیم شد. به این ترتیب نه نقشه بدست آمد که به ترتیب اهمیت، معرف آرایش های فشار سطح دریا هستند. آرایه نمرات مؤلفه ها (الگوی زمانی) به ابعاد ۶۲۵*۹ نشان میدهد که ارزش هر مؤلفه در هر روز چه مقدار بوده است. این آرایه در نرم افزار اکسل به ۹ نمودار تبدیل شد

مولفه اول : نزدیک به ۳۳ درصد تغییرات را فشار را تبیین می کند. آرایش توپوگرافی منحنی های فشار نشان از گسترش پرفشار جنب قطبی(شمال اروپا) بصورت مداری که با ورود زبانه های آن بسوی ایران و استان فارس شرایط نزول دما و ایجاد یخندان را فراهم می سازند. در این مؤلفه در جنوب دریای مدیترانه ، شمال آفریقا و شبه جزیره عربستان کم فشار حاکمیت دارد (نقشه ۲). الگوی زمانی این مؤلفه نشان می دهد که سیستم های پرفشار و کم فشار در ماههای آبان ، آذر و دی بصورت متناوب ظاهر گردیده اند. در بهمن ماه الگوی پرفشار از قاطعیت بیشتری بر خوردار بوده است(نمودار ۱).

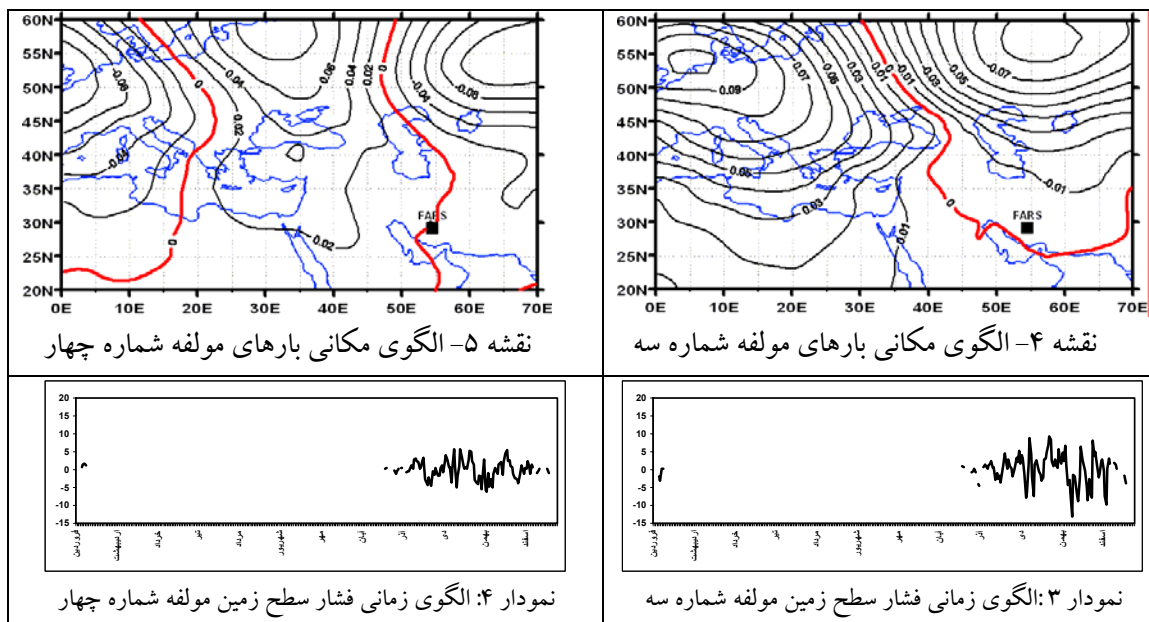
1 -Principal-component analysis
2 - Cluster analysis



نقشه ۳- الگوی مکانی بارهای مولفه شماره دو



مولفه دوم: این مولفه ۲۵ درصد تغییرات فشار را تبیین می‌کند. گسترش پرفشار سیبری بر روی ایران و شرق مدیترانه و استقرار یک کم فشار در غرب مدیترانه را نشان می‌دهد. این مولفه با آرایش توپوگرافی خود استان فارس را تحت تاثیر قرار می‌دهد(نقشه ۳). الگوی زمانی این مولفه سه اوچ حاکمیت پرفشار را در ماههای آذر و بهمن نشان می‌دهد. کم فشارها با یک روند افزایشی در فصل پاییز مشاهده می‌شود(نمودار ۲).



مولفه سوم: آرایش توپوگرافی بارها مولفه ها نشان میدهد که پرفشاری با هسته مرکزی شمال غرب اروپا به سمت شرق دریای سیاه گسترده شده است و شرایط هجوم هوای سرد را به سوی ایران مهیا می نماید. یک سیستم کم فشار بر روی منطقه سیبری و شمال ایران در این مولفه حادث شده است (نقشه ۴). این مولفه بیش از ۱۶ درصد تغییرات را تبیین می کند (جدول ۳). الگوی زمانی این مولفه نشان از افزایش پرفشار در ماه دی و ورود سیستم های کم فشار در ماههای بهمن و اسفند است (نمودار ۳).

مولفه چهارم: نزدیک به ۸ درصد تغییرات فشار را تبیین می کند. در این مولفه دو هسته کم فشار وجود دارد اول: کم فشاری است که در روی سیبری تا شمال دریای خزر و شرق ایران گسترده شده است دوم: کم فشار واقع در شمال غرب آفریقا و غرب اروپا. در میان این دو منطقه کم فشار مرکز پرفشاری وجود دارد که توده هوای سرد قطبی را به عرض های پایین هدایت می کند که به کم فشار قطبی نیز موسوم است. با ظهور این مولفه شرایط یخنдан در استان فارس فراهم می شود (نقشه ۵). الگوی زمانی آن نشان از نوسان اندکی است که در ورود کم فشارها و پرفشارها در فصول پاییز و زمستان مشاهده می شود. (نمودار ۴).

جدول ۳- درصد پراش تبیین شده توسط هر یک از مولفه های مبنای بر اساس فشار سطح دریا و ارتفاع ژئوپتانسیل (منبع: نویسنده)

درصد پراش تبیین شده توسط هر یک از مولفه های مبنای بر اساس فشار سطح دریا و ارتفاع ژئوپتانسیل												
شماره مولفه												
۱۱	۱۰	۹	۸	۷	۶	۵	۴	۳	۲	۱		درصد تبیین
-	-	۱	۲	۲	۳	۴	۸	۱۶	۲۵	۳۳	۳۳	فارس سطح دریا
۱	۱	۲	۳	۳	۵	۷	۱۱	۱۲	۲۴	۲۵	۲۵	ارتفاع ژئوپتانسیل

به منظور رعایت اختصار مولفه هایی که بیش از ۵ درصد داده های فشار را تبیین می نمودند در این پژوهش تفسیر و تحلیل شده است.

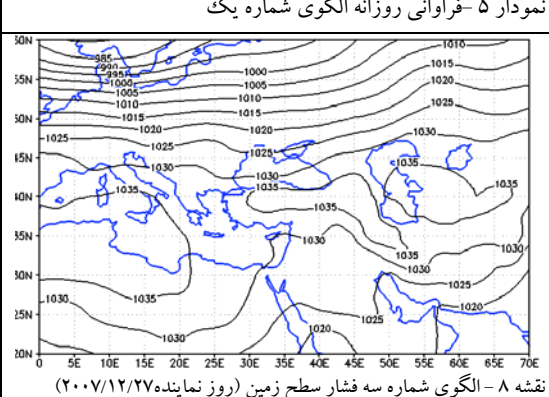
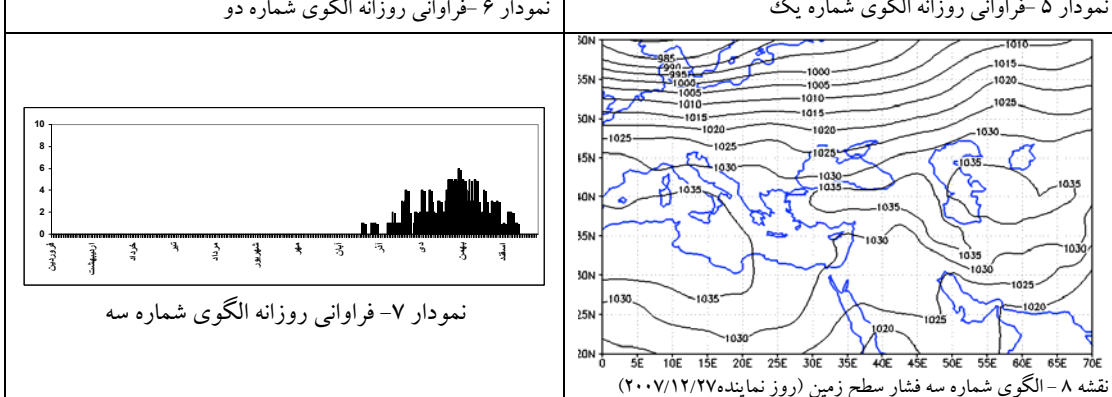
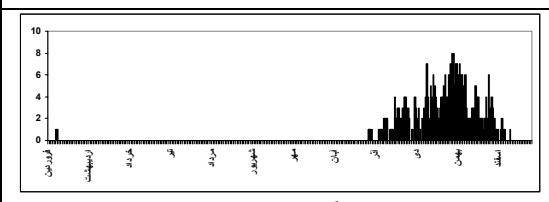
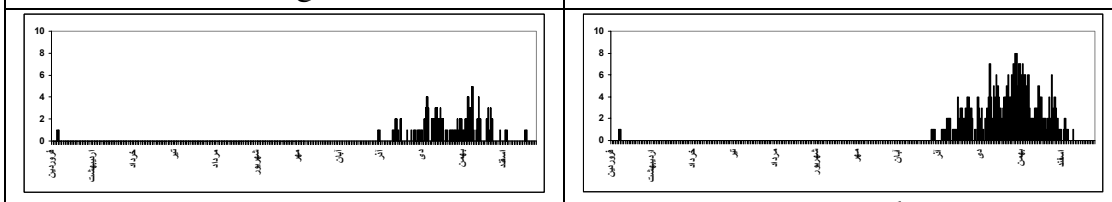
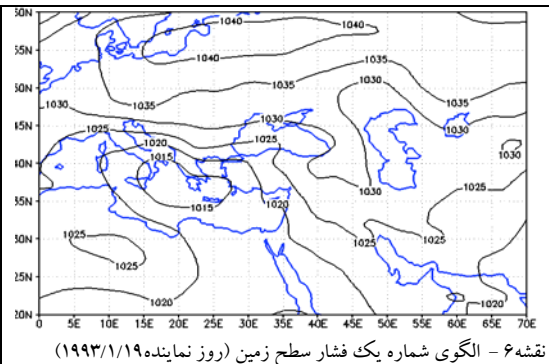
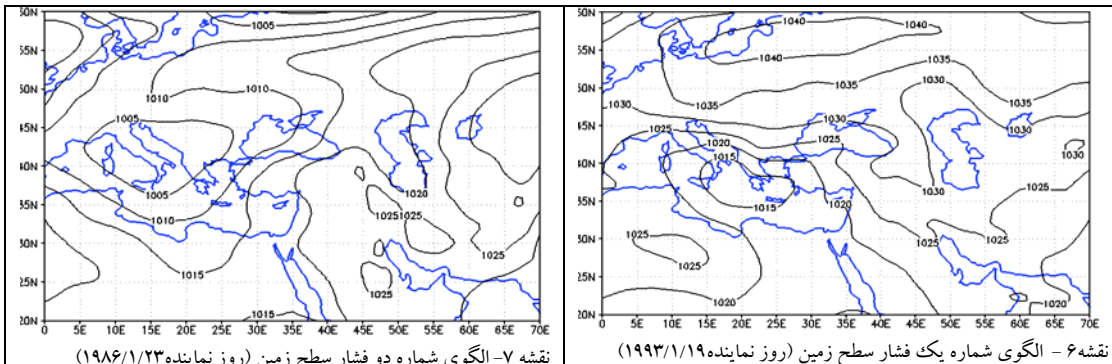
با انجام تحلیل خوش ای به روش ادغام وارد بر روی نمرات مولفه ها $625^{\circ}9$ ، سه خوشه شناسایی گردید. سپس با انجام تحلیل همبستگی یک روز بعنوان روز کلیدی (روز نماینده هر خوشه) یا الگوی گردشی در هر خوشه انتخاب شد. با استخراج نقشه روز های کلیدی با استفاده از نرم افزار GRADS به تفسیر و تشریح الگوهای گردشی موجود یخنдан پرداخته شده است.

الگوی گردشی شماره یک: روز نماینده این الگو $1993/1/19$ است. این الگو ۴۸ درصد در سال ظاهر می شود. بررسی نقشه این روز نشان می دهد که مرکز پرفشار شمال شرق اروپا با فشار مرکزی 1040 هکتوپاسکال تشکیل می گردد و زبانه های این پرفشار با 1025 هکتوپاسکال به سطح استان فارس کشیده می شود که باعث نفوذ هوای سرد عرضهای بالا به سوی منطقه مورد مطالعه می شود و شرایط نزول درجه حرارت و ایجاد یخندان را در استان فراهم می سازد (نقشه ۶). فراوانی روزانه این الگو نشان می دهد که از اوایل آذرماه فعالیت این الگو شروع می شود و در ماه بهمن به بیشترین فراوانی می رسد و در اوایل اسفند خاتمه می یابد (نمودار ۵).

الگوی گردشی شماره دو: روز نماینده این الگو $1986/1/23$ است. بررسی آرایش توپوگرافی فشار در این روز نشان می دهد که از شمال شرق ایران زبانه پرفشار سیبری وارد کشور شده و در ارتفاعات زاگرس مراکز پرفشار با فشار

شناسایی الگوهای گردشی پدیده یخبدان با کاربرد تحلیل مولفه های مبنا و تحلیل خوش ای / خوشحال و همکاران

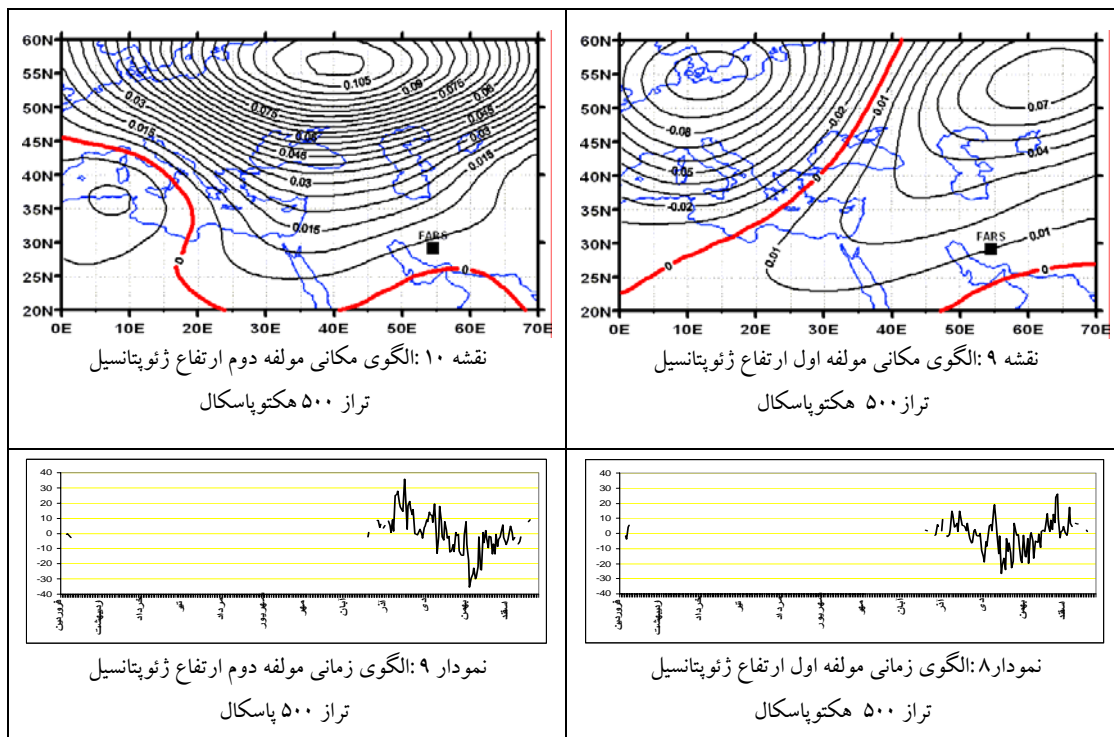
مرکزی ۱۰۲۵ هکتوپاسکال تشکیل می گردد. این الگو با ۱۸ درصد ظهرور در دوره آماری باعث شکل گیری یخبدان در ایستگاههای استان می شود(نقشه ۷). دوره فعالیت این الگو نشان از ظهرور پراکنده در طول سال است. فراوانی آن در ماههای دی و بهمن افزایش می یابد. در اوایل فروردین نیز مشاهده می شود(نمودار ۶).



الگوی گردشی شماره سه: روز نماینده این الگو ۲۰۰۷/۱/۲۷ است. در این روز مرکز پرفشار با فشار مرکزی ۱۰۳۵ هکتوپاسکال در سه منطقه دیده می شود . اول: روی دریای خزر - جنوب دریاچه آرال دوم : گسترش مداری از جنوب دریای سیاه به سوی کوههای زاگرس. سوم : شمال غرب آفریقا . استقرار مرکز پرفشار در سطح ایران و گستردگی آنها به عرض های جغرافیایی پایین تر سبب نفوذ هوای سرد عرض های بالا می شود و ایستگاههای استان فارس با پدیده یخبدان مواجه می گردند(نقشه ۸). فراوانی روزانه این الگو نشان از فعالیت آن در ماههای دی و بهمن است(نمودار ۷). این الگو با ۳۴ درصد ظهرور در سال فعالیت دارد.

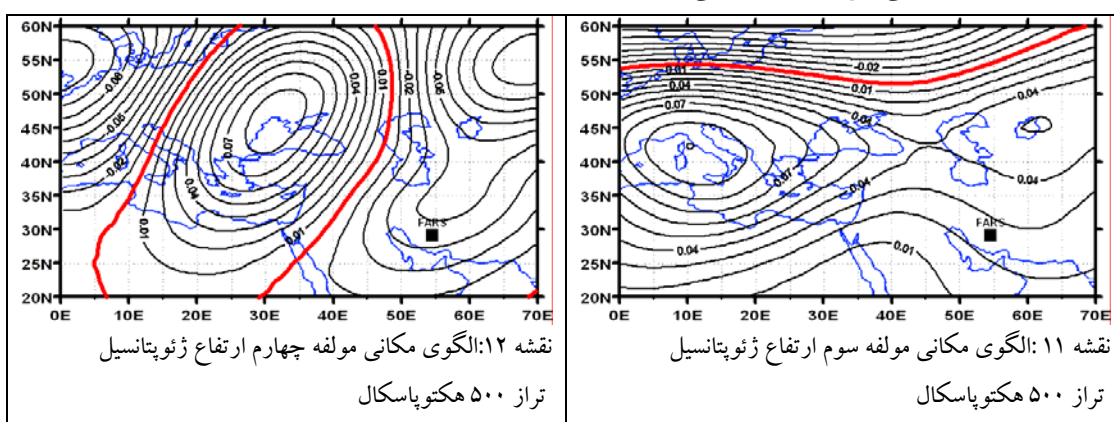
تحلیل مولفه های مبنا بر روی داده های ارتفاع ژئوپتانسیل تراز ۵۰۰ هکتوپاسکال

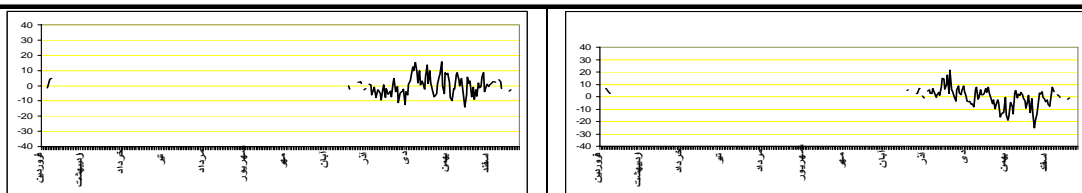
تحلیل مولفه مبنا بر روی نمرات مولفه های داده های ارتفاع ژئوپتانسیل ۵۰۰ هکتوپاسکال نشان داد که با یازده مؤلفه میتوان ۹۴ درصد تغییرات داده ها را تبیین کرد(جدول ۳). دو آرایه به ترتیب به ابعاد 493×11 برای الگوهای مکانی 625×11 برای الگوهای زمانی بدست آمد.



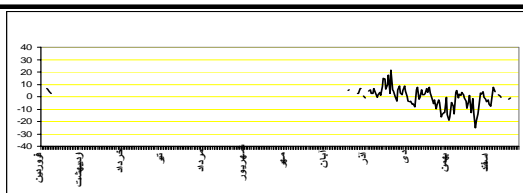
مولفه اول: آرایش توپوگرافی بارها ی مولفه ها نشان میدهد که مرکز پراارتفاعی با محوریت سیبری- دریای سرخ در تراز ۵۰۰ هکتوپاسکال از سیبری تا شرق مدیترانه و دریای سیاه با پوشش کامل بر سطح ایران وجود دارد. کم ارتفاعی با مرکزیت شمال غرب اروپا در این مولفه مشاهده می شود (نقشه ۹). این مولفه بیش از ۲۵ درصد تغییرات جریانهای تراز ۵۰۰ هکتو پاسکال را تبیین می کند. الگوی زمانی این مولفه نشان از میزان کاهش این مولفه در دی ماه و افزایش در اوخر بهمن است(نمودار ۸).

مولفه دوم : این مولفه ۲۴ درصد تغییرات الگوهای تراز ۵۰۰ هکتوپاسکال را تبیین می کند. گستردگی پراارتفاعی با مرکزیت شمال دریای سیاه را نشان می دهد که زبانه های آن جنوب ایران را تحت تاثیر قرار می دهد. که باعث شارش هوای سرد اروپای شمالی و قطبی به عرض های پایین می شود. در این مولفه مرکز کم ارتفاعی در غرب مدیترانه مستقر است(نقشه ۱۰). الگوی زمانی این مولفه نشان می دهد که در ماه آذر تاثیر بیشتری بر محدوده مطالعه دارد(نمودار ۹).





نمودار ۱۰: الگوی زمانی مولفه سوم ارتفاع ژئوپتانسیل
تراز ۵۰۰ هکتوپاسکال

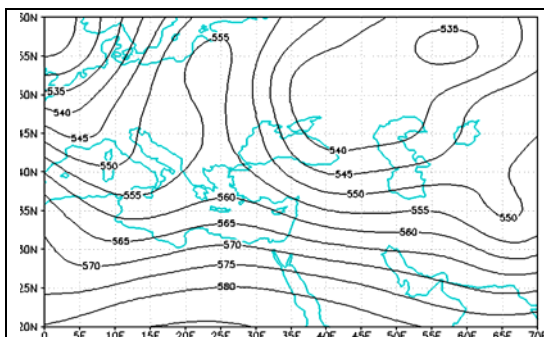


نمودار ۱۱: الگوی زمانی مولفه چهارم ارتفاع ژئوپتانسیل
تراز ۵۰۰ هکتوپاسکال

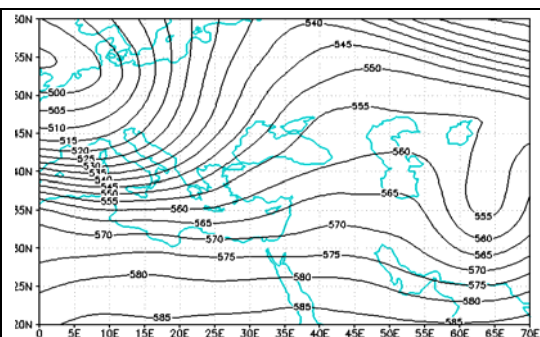
مولفه سوم: آرایش توپوگرافی بارهاي مولفه ها ارتفاع ژئوپتانسیل نشان میدهد که بر روی اروپا مرکز پر ارتفاع حاکم است و زبانه های آن در شرق با هسته پر ارتفاع سیری بر روی دریاچه آرال ادغام می گردد. این ادغام باعث تشدید سرما و یخ‌بندان در استان فارس می گردد(نقشه ۱۱). این مولفه ۱۲ درصد تغییرات الگوهای جریانی را تبیین می کند. الگوی زمانی این مولفه نشان از افزایش در ماه آذر است(نمودار ۱۰).

مولفه چهارم: ۱۱ درصد تغییرات الگوهای جریانی را تبیین میکند و نماینده حاکمیت دو کم ارتفاع عمیق با کشیدگی نصف النهاری است که مرکز یکی از آنها در شمال غرب اروپا و دیگری در شمال سیری واقع است. در بین این دو کم فشار مرکز پر ارتفاعی بر روی دریای سیاه بصورت نصف النهاری مستقر است. (نقشه ۱۲). این مولفه در فصل زمستان از روند افزایشی برخوردار است(نمودار ۱۱).

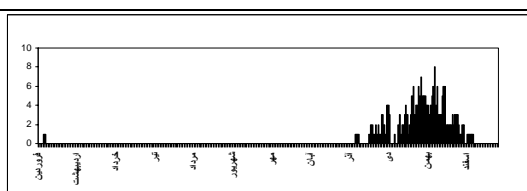
با انجام تحلیل خوش‌های به روش ادغام وارد بر روی نمرات مولفه ها ۶۲۵*۱۱ چهار خوش‌های شناسایی گردید. سپس با انجام تحلیل همبستگی یک روز بعنوان روز کلیدی (روز نماینده هر خوشه) یا الگوی گردشی انتخاب شد. با استخراج نقشه های روز های کلیدی از نرم افزار GRADS به تفسیر و تشریح الگوهای گردشی تراز ۵۰۰ هکتوپاسکال موجود یخ‌بندان پرداخته شده است.



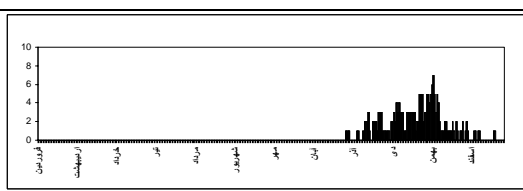
نقشه ۱۴- الگوی گردشی شماره دو ارتفاع ژئوپتانسیل تراز ۵۰۰ هکتوپاسکال روز نماینده (۱۹۸۸/۱/۲۱)



نقشه ۱۳- الگوی گردشی شماره یک ارتفاع ژئوپتانسیل تراز ۵۰۰ هکتوپاسکال روز نماینده (۱۹۸۹/۲/۲۶)



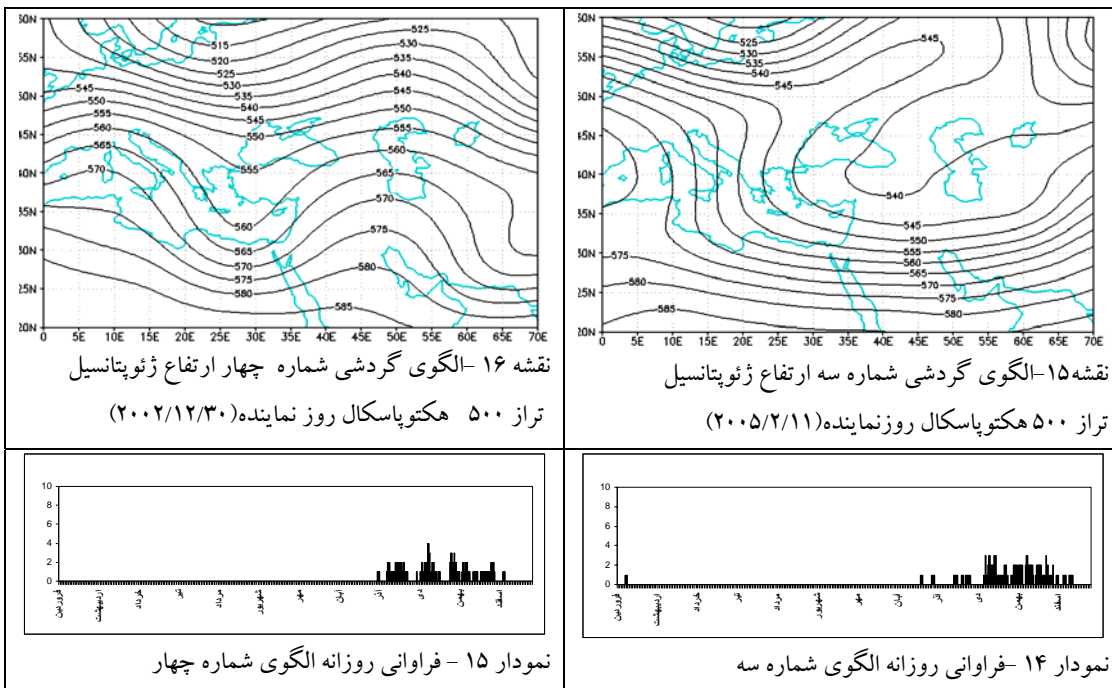
نمودار ۱۲ - فراوانی روزانه الگوی شماره یک



نمودار ۱۳ - فراوانی روزانه الگوی شماره دو

الگوی گردشی شماره یک: روز نماینده این الگو در طول سال دارای فراوانی ۳۲ درصد است. آرایش توپوگرافی این الگو نشان میدهد که در روی مدیترانه فروود عمیق و در روی ایران فرازی با محوریت دریای خزر - دریای سرخ مستقر می‌گردد. در این الگو استان فارس در شرق فراز (غرب فروود) واقع می‌شود که این شرایط باعث می‌شود که هوای سرد عرضهای بالا به عرضهای پایین منتقل شود و استان فارس در ایامی که این وضعیت در تراز یاد شده برقرار است یخندهان و نزول درجه حرارت در اکثر ایستگاهها مشاهده می‌شود(نقشه ۱۳). این الگو از اواسط ماه آذر تا اوخر ماه بهمن بطور پیوسته امکان ظهور آن وجود دارد و در اوایل بهمن از فراوانی بسیار زیادی برخوردار است(نمودار ۱۲).

الگوی گردشی شماره ۵: روز نماینده این الگو ۱/۲۱ ۱۹۸۸ است. در این الگو مرکز پر ارتفاعی با ۵۳۵ دکامتر در شمال دریاچه آرال مستقر است. فروود غرب اروپا به همراه فراز شرق دریای مدیترانه وجود دارد. در این حالت هوای سرد عرضهای بالا به سوی ایران و منطقه مورد مطالعه سرازیر می‌گردد(نقشه ۱۴). این الگو با ۳۶ درصد ظهور شرایط سرد و یخندهانی را در استان فارس پدید می‌آورد. در ماه دی و بهمن از فراوانی زیادی برخوردار است و در اوایل بهار باعث ایجاد یخندهانی دیررس بهاره می‌شود(نمودار ۱۳).



الگوی گردشی شماره سه: روز نماینده این الگو نشان می‌دهد که فرازی در روی اروپا شکل گرفته که محور آن در امتداد روسیه - غرب دریای مدیترانه است. این الگو با ۱۷ درصد فعالیت در طول سال باعث شارش هوای سرد و یخندهان اروپای شمال شرقی به سوی استان فارس است (نقشه ۱۵). دوره زمانی ظهور آن بصورت پراکنده در فصول پاییز و زمستان است. در فروردین امکان ظهور آن وجود دارد(نمودار ۱۴).

الگوی گردشی شماره چهار: روز نماینده این الگو با ۱۵ درصد ظهور خود باعث نزول درجه حرارت در استان فارس می‌شود. آرایش توپوگرافی آن فروود عمیق شرق مدیترانه و فراز دریای خزر را نشان می‌دهد و محور فراز آن در امتداد دریای خزر - غرب خلیج فارس است. در این حالت با قرار گیری منطقه مورد مطالعه

شناسایی الگوهای گردشی پدیده یخندان با کاربرد تحلیل مولفه های مبنای و تحلیل خوش ای / خوشحال و همکاران

در غرب فرود که فعالیت آنتی سیکلونی در آن برقرار است . باعث ریزش هوای سرد به عرضهای پایین گردیده و شرایط اقلیمی ایستگاهها با یخندان مواجه می شود (نقشه ۱۶) . فراوانی روزانه این الگو نشان می دهد که فراوانی کمی نسبت به سایر الگوهای دارد و بصورت پراکنده در طول سال ظاهر می شود(نمودار ۱۵) .

نتیجه گیری

طبقه بندی الگوهای گردشی ارتفاع ژئوپتانسیل تراز ۵۰۰ هکتوپاسکال و فشار سطح زمین به کمک تحلیل مولفه مبنای و تحلیل خوش ای از توانایی زیادی در تبیین پدیده یخندان برخوردار است. تجزیه و تحلیل مولفه ها نشان داد که پرفشارهای شمال و شمال شرق اروپا و پرفشار سیبری در سطح زمین تشکیل مراکز پرارتفاع بر روی سیبری و شمال و شمال شرق اروپا(جنوب قطبی) و قرارگیری منطقه مورد مطالعه در غرب فرود عامل مهم ایجاد یخندان در استان فارس می باشد. در همین راستا نتایج تحلیل خوش ای نشان داد که الگوهای حاکم بر سطح زمین در دوره های فراگیر با تداوم دو روز را می توان به دو دسته طبقه بندی نمود. اول: توده هوایی که در دوره سرد سال در شمال و شمال شرق اروپا شکل گرفته و به سوی عرضهای پایین و ایران سرازیر می شوند. دوم : ورود زبانه های پرفشار سیبری به جنوب ایران و منطقه مورد مطالعه است. با ورود این سامانه ها شرایط تشکیل مرکز پرفشار قوی در روی ارتفاعات زاگرس می گردد که این وضعیت در تشدید و تداوم یخندان ها در استان فارس تاثیر بسزایی دارد. بررسی الگوهای گردشی تراز ۵۰۰ هکتوپاسکال حاصل از تحلیل خوش ای در زمان رخداد یخندان ها بیشتر به دو شکل ظاهر می شوند. اول: استقرا فراز قوی در غرب ایران که محور آن در امتداد دریای خزر-اروند رود است. دوم: فراز مستقر بر شرق اروپا که محور آن در امتداد شمال شرق اروپا-غرب مدیترانه به حالت اریب کشیده می شود. در هر دو حالت فوق استان فارس در شرق فراز(منطقه آنتی سیکلونی) واقع می گردد که این وضعیت باعث شارش هوای سرد عرضهای بالا بسوی منطقه مورد مطالعه گردیده و باعث نزول درجه حرارت در استان فارس می شود.

منابع و مأخذ

- براتی، غلامرضا، (۱۳۷۵): طراحی و پیش بینی الگوهای سینوپتیک یخندانهای بهاره ای ایران، رساله دکتری ، دانشگاه تربیت مدرس، تهران.
- پنجمعلی زاده، محمد، (۱۳۸۴): تحلیل آماری و سینوپتیکی یخندانهای فراگیر شهر اردبیل، رساله کارشناسی ارشد دانشگاه آزاد واحد اردبیل.
- حجازی زهرا، ناصرزاده محمدحسین، (۱۳۸۴): محاسبه و تجزیه و تحلیل ساعت های تداوم یخندان با استفاده از برنامه نویسی به زبان دلفی، مطالعه موردی؛ استان لرستان، تحقیقات جغرافیایی، بهار؛ (۲۰) پیاپی ۱۳۹-۷۶-۱۵۰.
- خلجمی مهدی (۱۳۸۰): پیش بینی سرمای دیررس بهاره و یخندان زودرس پاییزه برای تعدادی از گیاهان زراعی و باگی در استان چهارمحال و بختیاری، نهال و بذر شهریور ۱۷(۲): ۱۲۶-۱۳۹.
- صادقی حسینی سیدعلیرضا، رضازاده مریم (۱۳۸۱): مطالعه آهنگ یخندان قطره های باران در اثر هسته بندی ناهمگن (در منطقه گیلان) نشریه تحقیقاتی فیزیک زمین و فضا پیاپی (۱)، ۲۸-۱، ۱-۱۲.
- علیجانی، بهلول، (۱۳۷۸): بررسی سینوپتیک الگوهای سطح ۵۰۰ هکتوپاسکال در خاورمیانه در دوره ۱۹۶۱-۱۹۹۰، مجله نیوار شماره ۴۵-۴۴، صص ۲۹-۷.

۷. فتاحی ابراهیم و صالحی پاک تهمینه، (۱۳۸۸): تحلیل الگوهای سینوپتیکی یخنده‌های زمستانه ایران، مجله جغرافیا و توسعه، شماره ۱۳، صص ۱۲۶-۱۲۷.
۸. قطره سامانی، سعید، (۱۳۸۳): تحلیل همدید شروع و خاتمه یخندهان در استان چهار محال بختیاری، پایان نامه کارشناسی ارشد دانشگاه آزاد اسلامی واحد تهران مرکز.
۹. کاویانی، محمد رضا و علیجانی بهلول، (۱۳۷۸): مبانی آب و هواشناسی، تهران، انتشارات سمت.
۱۰. مجدرد قره باغ، فیروز، (۱۳۷۶): تحلیل و پیش‌بینی یخندهان در آذربایجان، رساله دکتری، دانشگاه تربیت مدرس، تهران.
۱۱. مسعودیان، سید ابوالفضل (۱۳۸۵): زیج الگوی سی ساله الگوهای گردشی تراز میانی جو ایران، مجله جغرافیا و توسعه ناحیه‌ای، شماره ۱-۵، ۲۱.
۱۲. هژبرپور قاسم، علیجانی بهلول، (۱۳۸۶): تحلیل همدید یخندهان های استان اردبیل، جغرافیا و توسعه، پاییز و زمستان، (پیاپی ۱۰۶-۸۹:۱).
13. -A.Khalili, H.Rahimi, Z. Agha Shariatmadari (2007): Validation of air freezing index (AFI), for determination of frost penetration depth in typical arid and semi-arid zones of Iran ,BIABAN (Desert Journal), 23-31.
14. A. Meehl, C. Tebaldi and D. Nychka (2004): Changes in frost days in simulations of twenty-first century climate, Climate Dynamics Journal, Springer Berlin/ Heidelberg, 495-511.
15. kiristi jylha, Stefan Fronzeki, Heikki Tuomenvirta, Timothy R. Carterand, Kimmo Ruosteenoja (2007): Changes In Frost, Snow and Baltic Sea ice by the end of the twenty-first century based on climate model projections for Europe, Springer Netherlands, 441-462.
16. Ding, y and T. N krishnamurti (1987): "Heat Budget of the Siberian High and winter Monsoon" Monthly weather Review; vol. 115.
17. Vithkevich, V. I. (1963): "Agricultural Meteorology, Jerusalem; PP. 183-305.